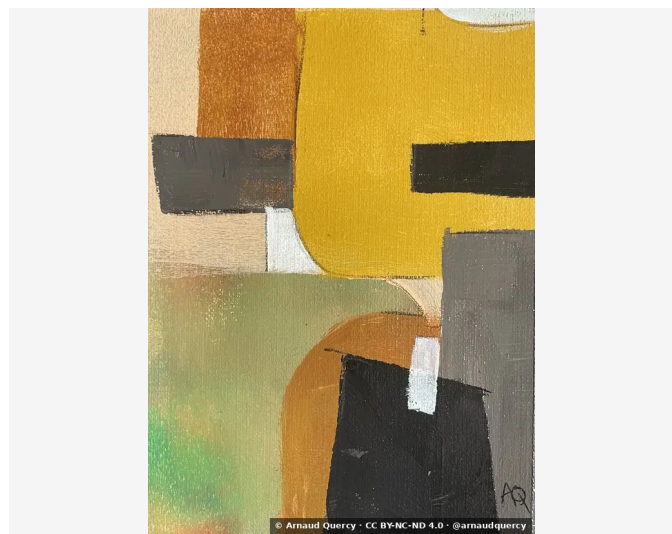


# Nanopublication – Analyse Computationnelle d'Image – AQC0527

par Arnaud Quercy · Ré Majeur 9 - Recherche sur l'Harmonie - Variation 7 · 2024



AFFIRMATION 1: ANALYSE COMPUTATIONNELLE D'IMAGE - AQC0527

Analyse computationnelle d'image [3] de l'œuvre Ré Majeur [1] 9 - Recherche sur l'Harmonie - Variation 7 (AQC0527) [2] par Arnaud Quercy [2] utilisant la méthode de regroupement regroupement k-means avec 10 paramètres d'extraction de couleurs. L'analyse comprend la distribution des couleurs, les métriques de texture, les mesures de luminosité/contraste, et la caractérisation des motifs spatiaux. Analyse effectuée le 2026-02-04.

## CONTEXTE

L'analyse effectuée selon MMIDS-CMP-2025 [3] comprend quatre catégories de métriques : (1) Distribution des couleurs via k-means (10 couleurs), (2) Analyse de texture utilisant les caractéristiques de Haralick, (3) Mesures de luminosité et contraste, (4) Caractérisation des motifs spatiaux. Image source [5] : 2683x3685 pixels. Date d'analyse : 2026-02-04.

## ANALYSE DES COULEURS

| Rang | Couleur | Hex    | %    | Famille       | Nom                   |
|------|---------|--------|------|---------------|-----------------------|
| 1    |         | D2A326 | 15.2 | yellow-orange | goldenrod             |
| 2    |         | 33312D | 15.1 | gray          | darkslategray         |
| 3    |         | 9A9C64 | 12.0 | yellow        | ochre                 |
| 4    |         | B0732E | 11.3 | orange        | burnt sienna          |
| 5    |         | E3B53B | 10.7 | yellow-orange | sandybrown            |
| 6    |         | B5B077 | 9.7  | yellow        | ochre                 |
| 7    |         | 7A7469 | 9.5  | yellow-orange | dimgray               |
| 8    |         | E1CAA2 | 7.6  | yellow-orange | burlywood             |
| 9    |         | 5D554B | 6.3  | orange        | dark brown            |
| 10   |         | E5E7DF | 2.6  | white         | white                 |
| 11   |         | 79B672 | 0.3  | yellow-green  | darkseagreen [Accent] |

## Familles de Couleurs:

| Famille       | %    |
|---------------|------|
| yellow-orange | 43.1 |
| yellow        | 21.6 |
| orange        | 17.6 |
| gray          | 15.1 |
| white         | 2.6  |
| yellow-green  | 0.3  |

## Couleurs d'Accent:

| Hex    | Famille      | Nom          | Chroma |
|--------|--------------|--------------|--------|
| 79B672 | yellow-green | darkseagreen | 43.9   |

## ANALYSE DE TEXTURE

| Métrique                | Valeur |
|-------------------------|--------|
| Global Roughness        | 0.195  |
| Mean Local Roughness    | 0.018  |
| Roughness Uniformity    | 0.019  |
| Edge Density            | 0.075  |
| Mean Gradient Magnitude | 0.158  |
| Gradient Variance       | 0.04   |
| Gradient Smoothness     | 0.0    |
| Directional Coherence   | 0.005  |
| Pattern Complexity      | 0.108  |
| Pattern Repetition      | 1.0    |
| Detail Frequency Ratio  | 0.623  |
| Spatial Variation       | 0.13   |
| Texture Consistency     | 0.547  |

## ANALYSE DE LUMINOSITÉ ET CONTRASTE

| Métrique                  | Valeur |
|---------------------------|--------|
| Mean Brightness           | 0.544  |
| Brightness Variance       | 0.195  |
| Brightness Uniformity     | 0.641  |
| Brightness Skewness       | -0.475 |
| Brightness Entropy        | 7.359  |
| Rms Contrast              | 0.195  |
| Michelson Contrast        | 1.0    |
| Weber Contrast            | 0.732  |
| Mean Local Contrast       | 0.02   |
| Contrast Uniformity       | 0.054  |
| Dynamic Range             | 1.0    |
| Effective Dynamic Range   | 0.643  |
| Shadow Percentage         | 17.205 |
| Midtone Percentage        | 53.691 |
| Highlight Percentage      | 29.104 |
| Shadow Clipping           | 0.001  |
| Highlight Clipping        | 0.021  |
| Tonal Balance             | 0.043  |
| Fine Contrast             | 0.009  |
| Medium Contrast           | 0.025  |
| Coarse Contrast           | 0.043  |
| Multiscale Contrast Ratio | 0.213  |
| Edge Contrast             | 0.158  |
| Contrast Clustering       | 0.453  |

## ANALYSE DE DISTRIBUTION SPATIALE

| Métrique                    | Valeur |
|-----------------------------|--------|
| Spatial Coherence           | 0.727  |
| Color Clustering            | 0.646  |
| Color Transition Smoothness | 0.601  |
| Transition Uniformity       | 0.748  |
| Sharp Transition Ratio      | 0.1    |
| Transition Directionality   | 0.009  |
| Mean Saturation             | 0.432  |
| Saturation Variance         | 0.084  |
| Low Saturation Ratio        | 0.384  |
| Medium Saturation Ratio     | 0.299  |
| High Saturation Ratio       | 0.317  |
| Saturation Clustering       | 1.0    |
| Hue Concentration           | 0.97   |
| Complementary Balance       | 0.0    |
| Analogous Dominance         | 0.992  |
| Temperature Bias            | 0.884  |

## Méthodologie

Cette analyse emploie des méthodes computationnelles standardisées pour la caractérisation objective des images. L'extraction des couleurs utilise l'algorithme de regroupement k-means. L'analyse de texture applique l'extraction des caractéristiques de Haralick. Les métriques de luminosité incluent la moyenne, la variance et l'analyse de distribution. Les motifs spatiaux sont caractérisés par des mesures de cohérence et de regroupement. Toutes les méthodes sont déterministes et reproductibles. Analyse effectuée par les systèmes d'imagerie computationnelle de l'Institut Multimodal.

## RÉFÉRENCES

- [1] Arnaud Quercy (2024). Ré Majeur 9 - Recherche sur l'Harmonie - Variation 7 - Catalog raisonné. <https://arnaudquercy.art/en/catalogue-raisonne/AQC0527.html>
- [2] Quercy, A. (2024). D Major9 - Research on Harmony - Variation 7 - Gallery. [https://artquamanima.com/fr/oeuvres/2024/01/re-majeur-9-recherche-sur-lharmonie-variation-7\\_5x6.html](https://artquamanima.com/fr/oeuvres/2024/01/re-majeur-9-recherche-sur-lharmonie-variation-7_5x6.html)
- [3] Quercy, A. (2025). Computational Image Analysis Standard - MMIDS-CMP-2025 <https://multimodal.institute/en/publications/2025/11/mmids-cmp-2025-computational-image-analysis-standard-dg1.html>

## OÙ VIT CETTE ŒUVRE

### ÉLÉMENTS THÉMATIQUES

cartographie chromesthétique accord Ré Majeur9  
 art synesthétique visualisation harmonique  
 étude acrylique traduction couleur musicale  
 format compact Recherche sur l'Harmonie

## PROFIL ÉPISTÉMIQUE

**Type de revendication** computational analysis  
**Voix** third person  
**Statut épistémique** empirical measurement  
**Méthodologie** computational analysis  
**Certitude** high

## SOMME DE CONTRÔLE (SHA-256)

cae68cfef05331482320eb6a3da0ab975bb19857d0a6f1b9af3412de1d96d1e3

Sous licence Creative Commons Attribution 4.0 International (CC BY 4.0)

**Artiste** Arnaud Quercy  
**Date** 2024  
**Certificat** 20240220-0023  
**Asset code** AQC0527  
**Identifiant** NAN-COL000408  
**Version** 1  
**Publié le** 2026-02-03

© 2026 Multimodal Institute

Publié par Art Quam Anima Publishing New York,  
une marque éditoriale de AQA PUBLISHING LLC  
c/o Northwest Registered Agent, 418 Broadway Ste N  
Albany, NY 12207, USA  
+1 917-764-5470

[publishing.artquamanima.com](http://publishing.artquamanima.com)

Dernière mise à jour: 2026-06-03

URI persistante: <https://multimodal.institute/fr/nanopubs/2026/02/AQC0527-computational-image-analysis-aqc0527.pdf>